doi: 10.3969/j.issn.1000-8349.2024.00.00

侧向星系的氮与硫发射线比研究

豆保帘 1,2, 郝蕾 1,2, 尹君 1,2, 林敏仪3

(1. 中国科学院 上海天文台 星系与宇宙学重点实验室,上海 200030; 2. 中国科学院大学,北京 100049;3. 中国科学院 国家天文台,北京 100101)

摘要:

吸积和反馈构成了星系与外界的物质循环,而金属丰度与循环过程密切相关。借助 MaNGA 积分视场巡天得到的 608 个侧向星系样本,可以考察氮与硫发射线比以及侧向星系金属丰度分布情况。研究表明,MaNGA 侧向星系样本和 SDSS 星系在 N2S2 图上会呈现类似的双峰分布,且侧向星系略微往左上方偏移。此外大部分侧向星系中心的 [N II]/[S II] 比外围的高,4 个星系中心呈现氮增丰的双锥状结构。最后由不同方法测量的侧向星系金属丰度空间分布基本一致,个别星系的氧丰度外围比中心高,这可能和 R23 "双分支"的选择判据有关,需要进一步优化。

关 健 词: 物质循环; 金属丰度; N2S2 图 **中图分类号:** P145.2 **文献标识码:** A

1 引 言

星系中的物质循环,包括气体的内流吸积和外流反馈,是支撑星系形成和演化的核心物理过程之一,星系气体中的金属含量也随着这个循环过程不断改变。星系中的金属丰度可以表明星系的演化阶段。随着星系的不断演化,宇宙的金属丰度不断增加,恒星形成星系中的金属含量是星系中的恒星形成、流入和流出星系的气体之间复杂相互作用的结果。影响星系中金属丰度变化的关键过程是气体流出星系(由超新星或其他过程驱动)以及从星系际介质流入星系。

这种循环过程更容易在侧向(Edge-on)星系中观测到。与视线方向倾斜近90°的盘状星系通常被称为侧向星系,是唯一可以直接研究其垂直结构的河外天体。侧向星系的核球的光与星系盘整合到一个平面中,核球和圆盘的相对尺寸明显,传统上研究侧向系统中圆盘的径向结构也更容易。在侧向星系中的盘、核球和晕中物质的垂直分布取得了许多重要的结果,

收稿日期: 2024-00-00; 修回日期: 2024-00-00

资助项目: 国家重点研发计划 (2022YFF0503402); 国家自然科学基金 (12233005)

通讯作者: 郝蕾, haol@shao.ac.cn

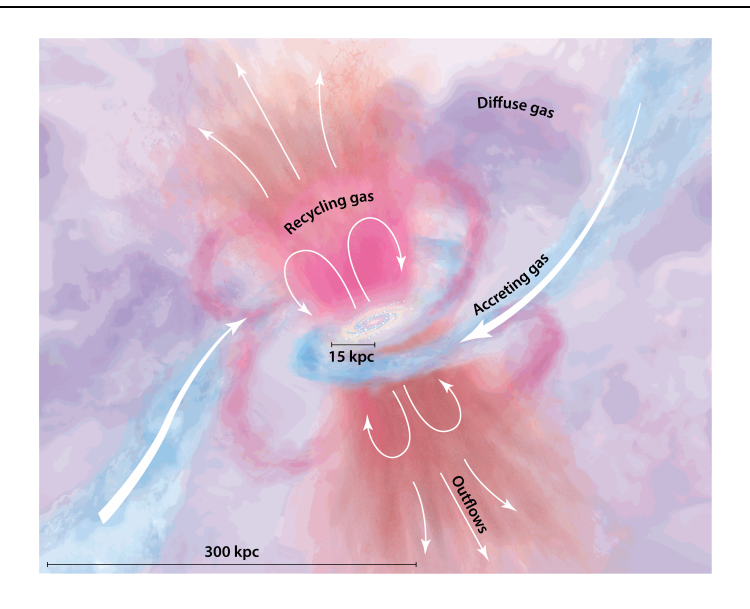


图 1 星系与外界的气体循环示意图,图片来自 Tumlinson 等人 $^{[1]}$

也包括一些对外流特性以及盘外弥散电离气体分布的研究。对于外流中有无金属以及外流对侧向星系金属丰度分布的影响,也是值得研究的课题,如 Chisholm 等人^[2]研究了外流与金属增丰之间的关联。

星系中的气体在受到电离后会产生发射线,通过研究这些发射线,我们可以确定电离参数的属性,该属性与某种元素处于不同离子状态的程度有关(即气体单电离与双电离的程度)。 <mark>氢原子在可见光的光谱中有两条最强的发射线</mark>: $H\alpha$ 6563 Å 和 $H\beta$ 4861 Å,这些谱线是在电离氢原子中缺失的电子重新结合并从较高能级跃迁到较低能级时产生的。此外,金属元素的电离态也具有一些显著的特征,金属离子与电子碰撞使离子进入激发态,随后退激发回到基态会发射光子,从而产生特征谱线。常见的禁线包括单电离氧双线 [O II] λ 3726,3729 Å,双电离氧双线 [O III] λ 4959,5007 Å。单电离氮双线 [N II] λ 6548,6584 Å。单电离硫双线 [S II] λ 6716,6731 Å。这些不同发射线的组合可以告诉我们恒星形成区的性质,例如气体的密度和金属丰度。

[N II] 和 [S II] 作为直接的观测量,作为金属丰度的指针有一定的局限性,但其相对关系却对星系的金属含量有一定的指示作用。考虑到不同金属丰度测量方法之间有很大的系统误差,因此直接使用发射线的比值来考虑星系中金属的特征有一定的意义。特别是 [N II] 和 [S II] 的波长相近,受尘埃消光的影响较小。因此在本文中我们详细考量了 [N II] λ 6584 Å 和 [S II] λ 6716,6731 Å 这两个发射线的比较,特别是使用了由 [N II] 和 [S II] 演变而来的 N2S2 诊断图(即 log (H α /[S II]) vs. log (H α /[N II]),通过对侧向星系的研究能够了解金属的分布情况,推动我们对星系物质循环的理解。

根据我们目前对恒星核合成的了解,我们可以将核合成产物分为两类:初级(Primary)

元素和次级(Secondary)元素,初级元素(例如碳和氧)的产量与恒星的初始金属丰度无关,而次级元素的产量取决于恒星中重元素的初始丰度。氮既可以作为初级元素,也可以作为次级元素。如果星际介质具有相对较高丰度的来自之前恒星形成的重元素,那么氮由次级元素主导,因为它的产生是基于恒星形成之前产生的碳和氧。次级氮的产生来源所有质量的恒星,并依赖于丰度,所以可预见 N/O(或 N/ α 元素)在高金属丰度下会随着金属丰度的增加而增加。Perez 等人 研究发现,氮丰度随氧丰度的二次方演化 N/H \propto (O/H)²,而Dopita 等人 研究了 N/O 和金属丰度之间的相关关系,也因为这种相关关系,使得氮与 α 元素丰度比(N/ α ,例如 N/O 和 N/S 等)经常被用作金属丰度的指示,例如表1中提到的 N2O2(log([N II]/[O II] λ 3727))和 N2S2 (log([N II]/[S II] λ 6717,6731))。然而,这些指针也有局限性,例如对金属丰度的依赖是间接的。对于系统偏离 N/ α -O/H 平均关系时,这些指针可能具有欺骗性;并且在低金属丰度下 N/ α -O/H 变平,两者都无法成为敏感的金属丰度指示。

星系的金属丰度可以通过多种方式测定,总体而言分为两种,基于电子温度的直接测量 法和利用强发射线比值的经验方法。直接测量法又称 " T_e 方法",该方法是测量较高激发线 [O III] λ 4363 Å 与较低激发线 [O III] λ 4959,5007 Å 之间的比值,来估计气体的电子温度,再结合电子密度计算出电离平衡时各离子的丰度。这种方法会受到金属丰度的严重影响,只有在极贫金属的环境中才能观测到 [O III] λ 4363Å,但也非常微弱,在较高金属丰度下无法观察到。对于富金属星系常用强发射线的比值来估算恒星形成区的金属丰度,常用的强发射线校准包括 R23、N2、N2O2 和 O3N2 等,Kewley 等人 管细研究了这些金属丰度探针和氧元素丰度之间的定标关系。

名称	定义	优点	不足之处
N2	$\log({\rm [NII]/H}\alpha)$	不受尘埃红化影响	强烈依赖 N/H
S2	$\log(\mathrm{[SII]/H}lpha)$	不受尘埃红化影响	强烈依赖电离参数 U
N2O2	$\log({\rm [NII]/[OII]}\lambda3727)$	受电离参数 U 影响较小	需要对校正尘埃红化
N2S2	$\log([\mathrm{NII}]/[\mathrm{SII}])$	受到尘埃红化影响较小	低金属丰度不敏感
O3N2	$\log[{\rm [OIII]/H}\beta] - \log[{\rm [NII]/H}\alpha]$	不受尘埃红化影响	强烈依赖电离参数 U 和 N/O
R23	$\log(\mathrm{[OII]}\lambda3727 + \mathrm{[OIII]}\lambda4959{,}5007)~/(\mathrm{H}\beta)$	考虑了氧的两个离子相	次要依赖电离参数 U、双值

表 1 不同金属丰度探针的对比

随着积分场光谱学(IFS)的发展,我们可以获得所观测星系中每个位置的光谱,积分视场单元(IFU)数据提供了大量关于星系性质的经验解释和约束。借助大型积分场光谱巡天(例如 CALIFA、SAMI 和 MaNGA)数据,许多人系统研究了金属丰度的空间特性,比较集中的研究包括金属丰度梯度关系以及星系间相互作用、局部金属丰度和面密度之间的关联、星系的内流、外流等^[6]。

鉴于 IFU 能够获取空间分辨的二维光谱的优点,我们可以借此来探究星系内部甚至外部的金属分布。本论文的主要研究内容就是挑选一个大的侧向星系样本,并通过其二维光谱研究这些星系中的氮与硫发射线比的相关特性及其在侧向星系中的分布。因此我们从 MaNGA

积分视场巡天数据中挑选出 608 个侧向星系,并研究了它们的光谱在 N2S2 图中的分布,及其所反映的金属丰度分布。本文的结构如下,在第二章中我们会介绍 MaNGA 积分视场巡天以及侧向星系样本的选取过程,第三章会介绍 SDSS 星系和 MaNGA 侧向星系样本在 N2S2 图的分布、[N II]/[S II] 的特征,以及侧向星系金属丰度的分布,第四章是对本文的总结与展望。

2 数据和样本

在本文中我们使用到了 SDSS 星系样本,以及构建了一个包含 608 个侧向星系的 MaNGA 星系样本。首先我们通过 MPA-JHU DR8 星表构建了一个包含约 170000 个星系的 SDSS 大样本星系, MPA-JHU 星表提供了一些额外的星系属性,例如星系的电离状态分类 (BPT 诊断图)、星系的恒星质量 (M_*) 、恒星形成率 (SFR) 以及气相金属丰度等。

在构建 SDSS 样本的过程中,为了确保发射线的可用性,我们要求所有的强发射线 $H\alpha$ 、 [O III] λ 5007、 $H\beta$ 、[N II] λ 6584 和 [S II] $\lambda\lambda$ 6717,31 的信噪比大于 5,对于缺乏发射线或发射线非常弱的星系均未采用。随后我们将这些星系按照 BPT 图 进行分类,将星系分类为恒星形成星系、复合星系和 AGN,AGN 又分成 Seyfert 和 LINER。恒星形成星系、复合星系、Seyfert 和 LINER 的比例分别为 73.69%、14.73%、8.56% 和 3.02%。

2.1 MaNGA 积分视场巡天简介

MaNGA 是 SDSS-IV 中的巡天项目,使用积分视场单元观测来生成空间分辨的光谱数据,MaNGA 的目标是获得红移范围 0.01 < z < 0.15 内约 10000 个星系的最终 IFS 样本 ^[8]。 巡天在 2.5 米 Apache Point 天文台进行,从 2015 年 7 月到 2020 年 8 月,MaNGA 项目成功观测到了 10010 个近邻星系的 IFS 光谱,每个 plate 上使用了 17 个 IFU,每个 IFU 包含 $19\sim127$ 根光纤,IFU 的形状为六边形,以优化探测器上的可用空间;每个 Spaxel 的空间分辨率为 2 角秒,在 $z\sim0.05$ 处对应的物理距离为 $\sim2kpc$ 。 IFU 位于 BOSS 摄谱仪上,其中值色散为 $\sigma_{inst}\sim72km/s$ 。除此之外,在 plate 上还有一组 12 个光纤束,每束包含 7 根光纤,用于流量校准,另外 96 根光纤用来获取背景天空光谱。光谱范围覆盖从约 $3622\sim10350$ 的整个可见光谱,光谱分辨率 $R\sim1100-2200$ 。

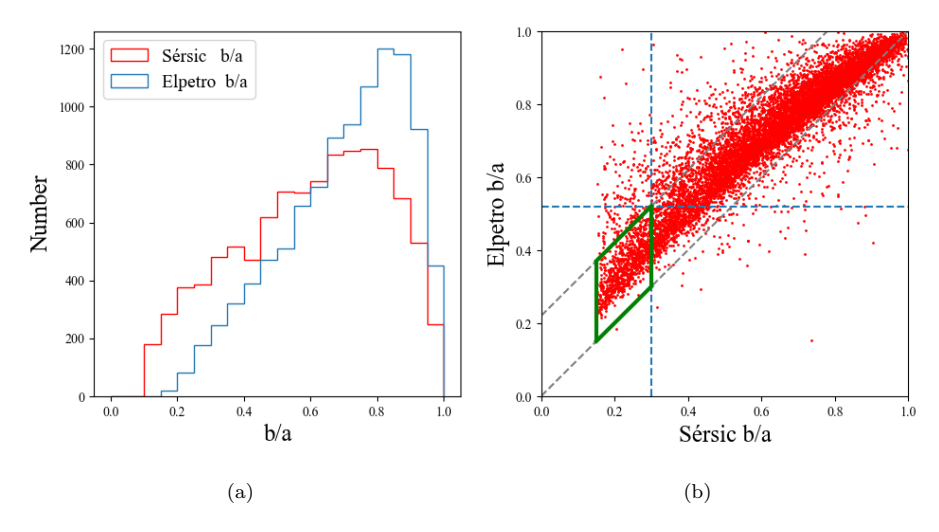
MaNGA 巡天的目标源选自 NASA-Sloan Atlas(NSA) 星表,该星表是由 Blanton 等人 构建的约 640000 个低红移星系的星表,数据基于 SDSS、GALEX 和 2MASS。MaNGA 完整样本包括主样本、次样本和颜色增强样本:主样本和次样本的比例为 3:1,对于主样本星系,MaNGA 的目标是获得至少 $1.5R_e$ 的径向覆盖范围,次样本星系的覆盖范围至少为 $2.5R_e$,典型的 MaNGA 星系有效半径覆盖到 $15\mathrm{kpc}$ 。颜色增强样本还进一步选择了 NUV-r 与 M_i 图中主样本未很好采样的星系,例如覆盖低质量的红色星系和高质量的蓝色星系,没有对颜色、形态或环境进行任何切割,因此观测到的星系完全代表了当地的星系群。总体而言,MaNGA 目标覆盖了广泛的恒星质量范围 $10^9M_\odot < M_* < 6 \times 10^{11.5}M_\odot$,红移范围为 0.01 < z < 0.15,中值红移为 $z \sim 0.03$,次级样本星系通常具有较高的红移 $(\bar{z} \sim 0.045)$ 。红

移限制保证了恒星质量具有大致平坦的数密度分布。

MaNGA 原始光谱数据使用数据处理程序 DRP (Data Reduction Pipeline) 进行处理 为每个星系生成一个数据立方体,其尺寸为 0.5×0.5 角秒。DRP 输出的数据立方体经过数据分析程序 DAP (Data Analysis Pipeline) 进行分析,DAP 的主要输出是发射线流量、恒星运动学以及连续谱指数。DAP 还创建了测量的发射线强度和光谱指数的二维图,以及测量量,例如一个有效半径 R_e 内的 $H\alpha$ 流量,使用 Schlegel 等人 E(B-V) 值对所有MaNGA 的空间像素进行前景消光改正,并假设银河系消光曲线 E(B-V) 值对所有

最终 MaNGA MPL-11 发布的数据包含 11273 个数据立方体,属于 SDSS DR17 的一部分。在这些数据立方体中,包含一些后发座(Coma)、IC342、M31 和球状星团等,在扣除了重复观测的目标源之后,共有 10010 个不同的星系。

2.2 MaNGA 侧向星系样本



注: (a) 横坐标为轴比 b/a, 纵坐标为星系数目。(b) 横坐标为 $S\acute{e}rsic\ b/a$, 纵坐标为 $Elpetro\ b/a$, 红色的 点为 MaNGA 所有星系,绿色平行四边形内的点为侧向星系

图 2 b/a 的分布直方图以及侧向星系的选择范围

6 天文学进展 0卷

首先我们画出了两个 b/a 的分布直方图和线性关系,由图2(a) 得到 $Sérsic\ b/a$ 的中值在 0.59 附近,而 $Elpetro\ b/a$ 的中值在 0.71 附近,并且从在图2(b) 可以看出,大多数星系的 $Elpetro\ b/a$ 要高出 $Sérsic\ b/a$ 约 0.2 左右,偏离在分界线的一侧。为此我们结合两个参数,我们选取两个 b/a 值都比较小的区域,在 $Sérsic\ b/a < 0.3$ 的同时要求 $Elpetro\ b/a < 0.52$,即图2(b) 中用平行四边形区域, $0.15 < Sérsic\ b/a < 0.3$ 以及 $Sérsic\ b/a < Elpetro\ b/a < Sérsic\ b/a + 0.22$,该区域共有 852 个星系。随后我们将这些数据和 NSA 星表匹配,得到 845 个星系,有 7 个星系为同一个目标源分别用不同的 plate 观测两次,我们选取视场较大的星系。随后我们又逐一比对了 SDSS 图像,从图像上排除存在并合、其它源污染或视场太小的星系,一共去除了 27 个星系。

我们使用的发射线流量来自 DAP 文件中的 "EMLINE_GFLUX",通过连续谱加发射线拟合得到高斯轮廓积分流量。发射线流量考虑了银河系消光,并假设 O'Donnell94 消光函数;对于侧向星系内部尘埃引起的消光,我们使用 Calzetti 等人 ^[14]提出的星爆星系模型的消光曲线 $R_V = A_V/E(B-V) = 4.05 \pm 0.80$,其中 A_V 为 V 波段的消光。假设温度为 $T = 10^4 K$,电子数密度为 $n_e = 10^2 cm^{-3}$ (Case B),此时 $\mathrm{H}\alpha/\mathrm{H}\beta$ 本征流量比为 $2.86^{[15]}$,使用 Calzetti00 消光曲线,可以计算出色余 E(B-V):

$$E(B-V) = 1.97log_{10} \left[\frac{(H\alpha/H\beta)_{obs}}{2.86} \right]$$
 (1)

随后由消光 $A_{\lambda} = k(\lambda)E(B-V)$ 可以得到波长 λ 处的本征流量与观测流量之间的关系:

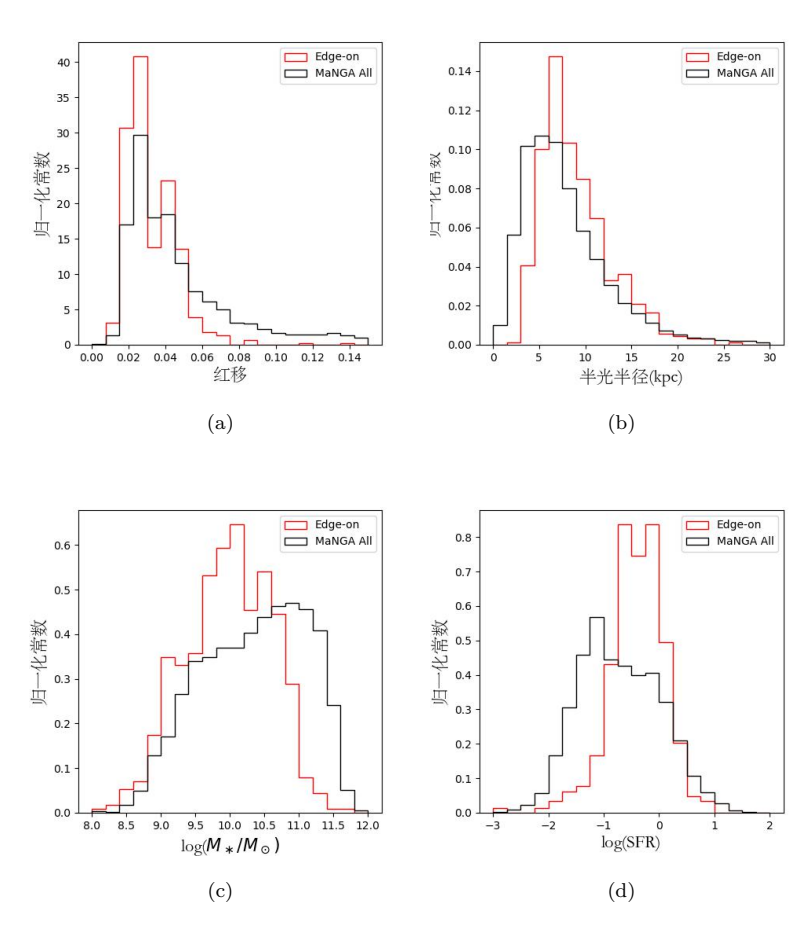
$$F_{int}(\lambda) = F_{obs}(\lambda)10^{0.4A_{\lambda}} = F_{obs}(\lambda)10^{0.4k(\lambda)E(B-V)}$$
(2)

接下来我们考虑了这些星系在 MaNGA 光谱中的发射线信噪比,我们要求每个 Spaxel 的 $H\alpha$ 、[O III] λ 5007、 $H\beta$ 、[N II] λ 6584 和 [S II] $\lambda\lambda$ 6717,31 信噪比均大于 3,信噪比可以通过 DAP 中每条发射线流量乘以逆方差的平方根来获得。我们剔除了信噪比小于 3,以及任何其它缺乏掩模、测量不可靠或在 MaNGA 星表中被认为无法用于科学的 Spaxel。同时我们还考虑了每个 Spaxel 的平均连续谱信噪比,对波长范围 3700 ~ 9000 Å 内的每个观测波长处的信噪比取一个平均值,当平均信噪比大于 10 时,该 Spaxel 被认为是有效的,我们要求每个星系至少有 100 个有效的 Spaxel,有 689 个星系符合。最后我们又对所有 Spaxel 按照 BPT 图分类,排除了中心区域 $0.5R_e$ 范围内超过 10 个 AGN Spaxel (BPT 图 ([N II]/ $H\alpha$ vs. [O III]/ $H\beta$) 中位于 Ke01 分界线以上,包括 Seyfert 和 LINER)的星系,最终得到一个包含 608 星系的侧向星系样本。

之后我们绘制了 608 个侧向星系样本的红移,半光半径、恒星质量和恒星形成率,并和 MaNGA 总星系样本进行了对比,红移来自 NSA 星表中的 "NSA_Z"; R50 来自 DRPAll 星表中的 "NSA_SERSIC_TH50",表示 r 波段的二维单组分 $S\acute{e}rsic$ 拟合的 50% 总光度对应的 半径。恒星质量和恒星形成率来自于 MPA-JHU 星表:恒星质量(标记为 LGM_TOT_P50)是根据星族的理论模型计算的,并假设 Kroupa IMF [16]; SFR (标记为 SFR_TOT_P50)是

使用 ${\rm H}\alpha$ 发射线(当可用时)估计的: $SFR(M_{\odot}yr^{-1})=8\times 10^{-42}L(H\alpha)(ergs^{-1})$,对于无发射线的星系,恒星形成率是使用恒星形成率和光谱指数 D4000 之间的关系来估计的。实际上并非所有的 MaNGA 星系都能在 MPA-JHU 星表中找到对应星系,我们仅获取到 577 个星系的恒星质量以及恒星形成率。

图3(a) 和 (b) 表示红移和半光半径的直方图,从图3(a) 中可以看出绝大多数侧向星系的红移都处在 0.01 < z < 0.09 之间,中值红移 0.029,比较接近 MaNGA 总星系样本的中值红移 0.03。星系的半光半径 R50 分布如图3(b),R50 的中值与 MaNGA 总星系也比较接近,R50 大于 15kpc以上大星系的数量不是很多。图3(c) 和 (d) 表示恒星质量和恒星形成率的直方图,该样本的恒星质量覆盖范围集中在 $10^9 \sim 10^{11} M_{\odot}$,中值为 $10^{10} M_{\odot}$,恒星形成率的范围集中在 $0.1 \sim 2~M_{\odot}/yr$,中值为 $0.43~M_{\odot}/yr$ 。



注:(a) (b) (c) 和 (d) 的横坐标分别为红移、半光半径、恒星质量和恒星形成率,纵坐标为归一化常数,红色表示侧向星系样本,黑色表示 ManGA 总星系。

图 3 红移、半径、恒星质量和恒星形成率分布直方图

3 结果与讨论

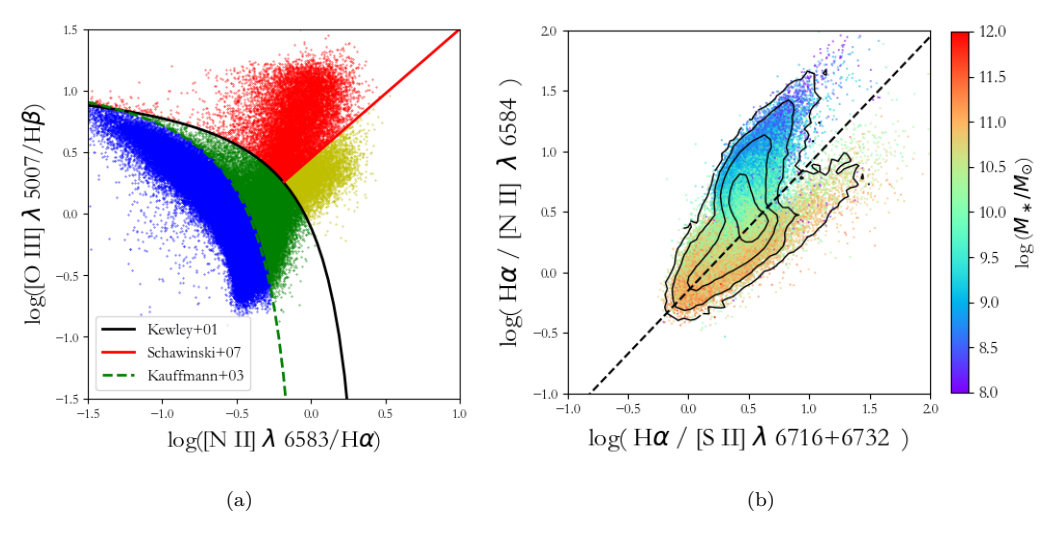
在本章第 1 节我们会讨论 SDSS 星系和 MaNGA 侧向星系在 N2S2 图的分布,第 2 节讨论 $[N\ II]/[S\ II]$ 在 MaNGA 侧向星系的空间分布,第 3 节讨论 MaNGA 侧向星系金属丰度分布情况。

3.1 SDSS 星系和 MaNGA 侧向星系在 N2S2 图上的分布

正如引言中介绍的,氮元素具有初级和次级元素两种来源,和 α 族元素之间的比值对星系的金属循环和演化有重要的指示作用,而硫正是 α 族元素之一。因此 N2S2 诊断图以及 [N II]/[S II] 发射线比值应该也具有指示作用。

N2S2 诊断图是 Sabbadin 等人 $^{[17]}$ 针对银河系内的行星状星云、超新星遗迹等目标源的区分而提出的。但 $[N\ II]$ 和 $[S\ II]$ 这两组发射线本身对星系中的金属丰度有很强的指示作用,因此这一诊断图应该也包含了金属丰度的信息。Delgado 等人 $^{[18]}$ 首次引入 N2S2 (即 $\log(H\alpha/[S\ II])$ vs. $\log(H\alpha/[N\ II])$ 用于河外 H II 区的金属丰度和电离状态的诊断,此后,若干工作 $^{[19,20]}$ 持续发展使用这一诊断图对星系的金属丰度和电离状态做判断的方法。不过此前的这些工作都只是利用这一诊断图对星系整体金属丰度(Z)做诊断。

3.1.1 SDSS 星系在 N2S2 图上的分布



注:(a) 横坐标为 log ([N II] λ 6583 /H α),纵坐标为 log ([O III] λ 5007 /H β),图中绿色虚线表示"Kauffmann03" 分界线,黑色实线表示"Kewley01" 分界线,红色实线为"Schawinski07" 分界线,蓝色的点表示恒星形成星系,绿色的点表示复合星系,红色的点表示"Seyfert",黄色的点表示"LINER"。(b) 等值线为 SDSS 大样本星系,右侧颜色棒表示星系的恒星质量 $\log(M_*/M_\odot)$

图 4 SDSS 大样本星系的 BPT 分类图以及 N2S2 图

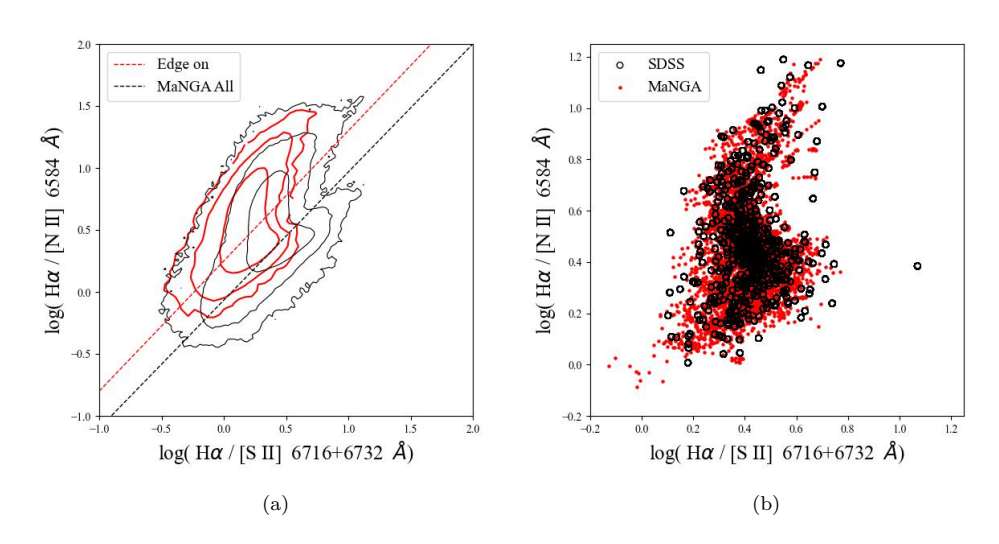
首先我们探究了 SDSS 星系在 N2S2 图上的分布情况。我们对 SDSS 星系进行了 BPT 图分类,如图4(a) 所示,依据 BPT 诊断图星系可以被分为恒星形成星系、复合星系、LINER

和 Seyfert。我们分别将恒星形成星系、复合星系、Seyfert 和 LINER 的光谱画在 N2S2 图 上,发现只有 Seyfert 对结果影响最大,因此我们忽略了 Seyfert,并把其余星系都画在 N2S2 图上,我们发现这些星系呈现一个双峰的分布。我们定义双峰分界线: $log(H\alpha/[NII])=1.05\times log(H\alpha/[SII])-0.15$,如图4(b) 中虚线所示。这一分界线将 SDSS 大样本星系分成两类,处于分界线右下方区域的表示 [N II] 相对于 [S II] 较高的星系,左上方区域则表示 [N II] 相对于 [S II] 较低。考虑到氦元素有初级氦和次级氦两种起源,我们推测 N2S2 图中靠下一支的出现有可能是次级氦起源开始主导氦丰度的一个直观体现。

随后我们考虑了双峰分布与恒星质量这一参数的关系,以进一步理解上述推测。图4(b)中星系的颜色由星系的恒星质量来标注(图右侧的颜色棒给出了具体的标度)。我们发现,处于上支([N II] 相对于 [S II] 较低)的星系的恒星质量较低,而下支的星系恒星质量较高。双支分界之处的星系恒星质量大约为 $10^{10}M_{\odot}$,而这一质量恰恰是次级氮开始主导氮丰度的恒星质量 $[^{21}]$ 。

3.1.2 MaNGA 侧向星系在 N2S2 图的分布

SDSS 星系光谱只是考察了数目庞大的星系的中心性质,无法告诉我们星系不同位置的信息。利用空间分辨的侧向星系样本,我们想知道是否也可以在 N2S2 图中观察到可能直观表征氮丰度性质的双峰分布? 为此,我们对空间分辨的 MaNGA 侧向星系不同位置上的光谱进行了考察。图5(a) 展示了我们选择的 608 个 MaNGA 侧向星系所有可用光谱的等值图,我们发现侧向星系在 N2S2 图上也能看出一个双峰分布,尽管 [N II] 相对于 [S II] 较高这一支并不是很突出。



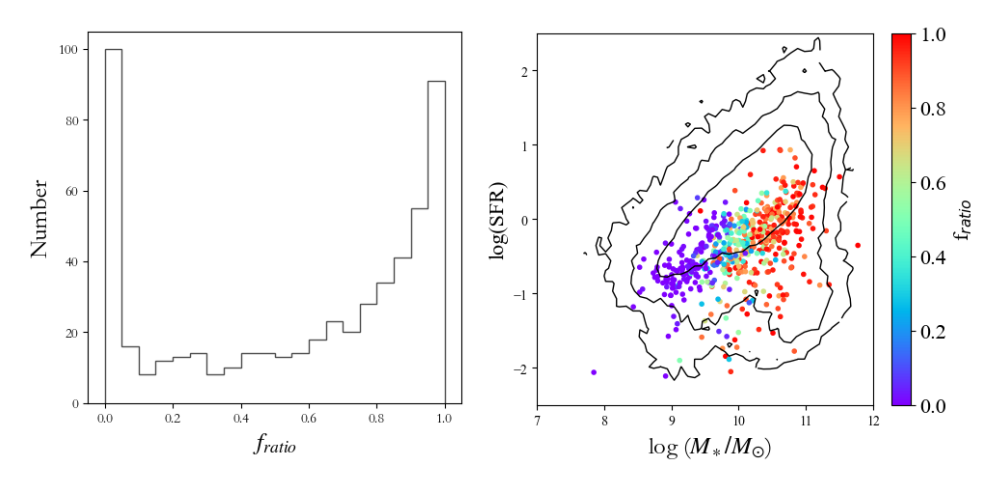
注:(a)黑色等值线为 MaNGA 总星系, 红色等值线为侧向星系, 黑色虚线为 MaNGA 总星系的分界线, 红色虚 线为 MaNGA 侧向星系的分界线。(b) 红色的点表示 MaNGA 星系中心 3 角秒内的光谱, 黑色空心圆为 SDSS 星系的光谱

图 5 MaNGA 侧向星系的分界线以及和 SDSS 光谱的对比

出乎我们的意料,侧向星系样本的双峰分布相较于 SDSS 星系的分布显著不同。由于MaNGA 光谱反映的是星系整体结果,而 SDSS 光谱得到的仅是中心区域的结果,二者并不具备直接可比性,因此我们使用 MaNGA 总星系样本的谱线比作为参考。如图5(a),我们可以看出中 MaNGA 总星系样本的分界线比较接近3.1.1小节定义的 SDSS 星系的分界线,而侧向星系相较于 MaNGA 总星系更集中在分界线的左上方区域,侧向星系中处于分界线以下的光谱只占少数。事实上如果我们将 SDSS 星系的分界线向上移动 0.3dex,则可以更好地捕捉侧向星系在 N2S2 图上的双峰分布,由此定义侧向星系双峰分界线: $log(H\alpha/[NII])=1.05 \times log(H\alpha/[SII])+0.15$ 。不仅如此 $log(H\alpha/[SII])$ 的范围也有所减小,SDSS 大样本星系的 $log(H\alpha/[SII])$ 集中在 $-0.2 < log(H\alpha/[SII]) < 0.8$ 。

为了进一步检查该结果是否来自测量方法的系统偏差,我们通过将侧向星系样本的(RA, DEC, z)与 MPA-JHU 星表逐一进行匹配,得到相对应的 SDSS 侧向星系,然后进一步对比了 SDSS 星系单光纤光谱与 MaNGA 星系中心 3 角秒范围的光谱,并画出了它们在 N2S2 图上的分布,如图5(b) 所示。可以看出 MaNGA 星系中心的光谱基本上与 SDSS 星系重合。

尽管仔细检查了每个星系,我们确实可以发现中心的 [N II]/[S II] 一般比外围要高,但这种分界线的上移却让人困惑。这可能暗示着金属丰度的一些具体性质可能和 ISM 在星系上的具体位置有关,大质量星系的外围和小质量星系的中心,即使它们的质量面密度相当,在 N2S2 图上的分布也是不同的。而这样对位置的敏感性可能正是金属丰度与星系外流、吸积等过程敏感的一种反映,因为这些过程都和气体所处星系中的位置有关系。对这一问题的更进一步理解还需要更多深入的探究,已经超出了本文的范围。接下来,我们将对 MaNGA 星系在 N2S2 图上的分布做些简单的统计分析。



注:(a) 横坐标为 f_{ratio} ,纵坐标为频数。(b) 横坐标为星系的恒星质量 $\log(M_*/M_\odot)$,纵坐标为恒星形成率 $\log({\rm SFR})$ (单位为 M_\odot/yr^{-1}),等值线为 SDSS 大样本星系,颜色棒表示 f_{ratio}

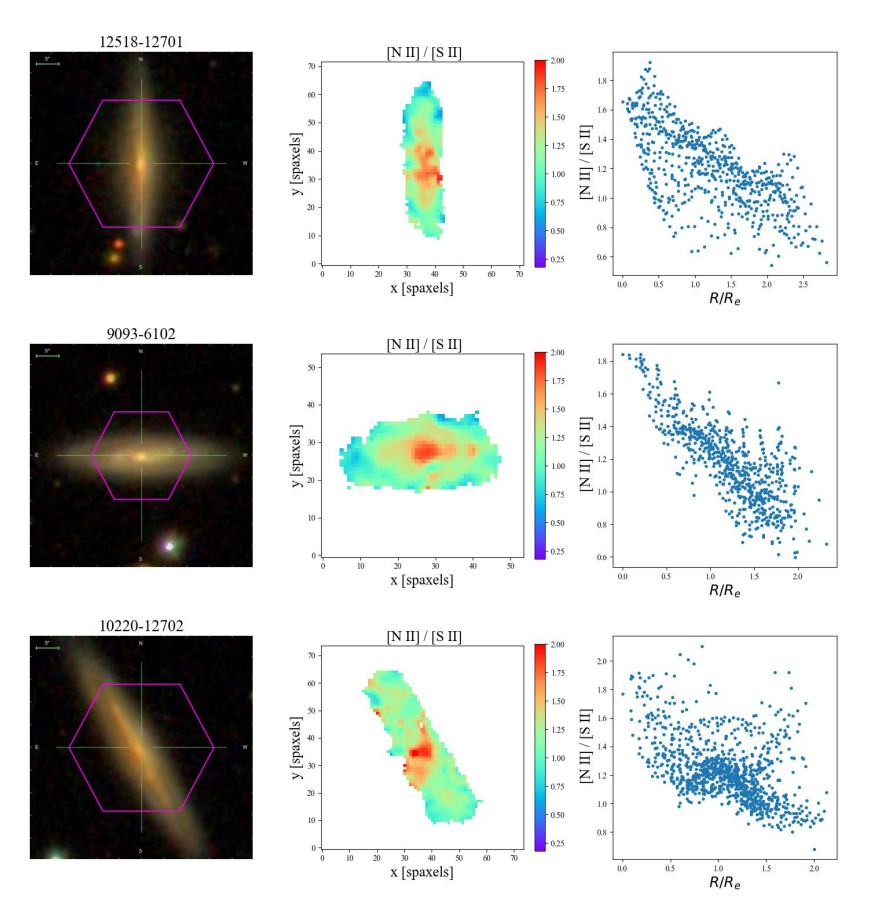
图 $6 - f_{ratio}$ 的分布直方图与 MaNGA 侧向星系在质量恒星形成率关系图上的分布

同时我们发现有些星系在 N2S2 图上完全分布在双峰的一侧, 而有些横跨双峰的分界

线。为了统计每个星系中双峰的分布,我们定义 Spaxel 数目比 f_{ratio} 这一数值,具体为处在 MaNGA 样本双峰分界线以下的 Spaxel 数目除以该星系中总的 Spaxel 数目。 f_{ratio} 越大表示该星系中拥有高 [N II]/[S II] 的 Spaxel 数目越多。我们发现在 608 个星系中,有 52 和 10 个星系的 f_{ratio} 分别为 0 和 1,即星系中全部的 Spaxel 都在双峰分布的一侧,剩下的星系的 f_{ratio} 的分布图如6(a) 所示。

图6(b) 中,我们在恒星质量和恒星形成率基本关系图上展示了 608 个侧向星系的分布,并以 fratio 数值作为图上点的颜色。等值图来自 SDSS 星系,像所有人发现的那样,它展示两个分支:靠上的是恒星形成星系,而靠下的是被"熄灭"的星系。我们发现,大部分 MaNGA 侧向星系集中在恒星形成星系分支靠下的部分,相比于 SDSS 星系中的恒星形成星系而言,更集中在向"熄灭"分支过渡的区域,这可能是因为这些星系中的消光对恒星形成率的估计造成了影响。还有一部分 MaNGA 侧向星系位于恒星形成"熄灭"的分支。

3.2 [N II]/[S II] 在 MaNGA 侧向星系的空间分布

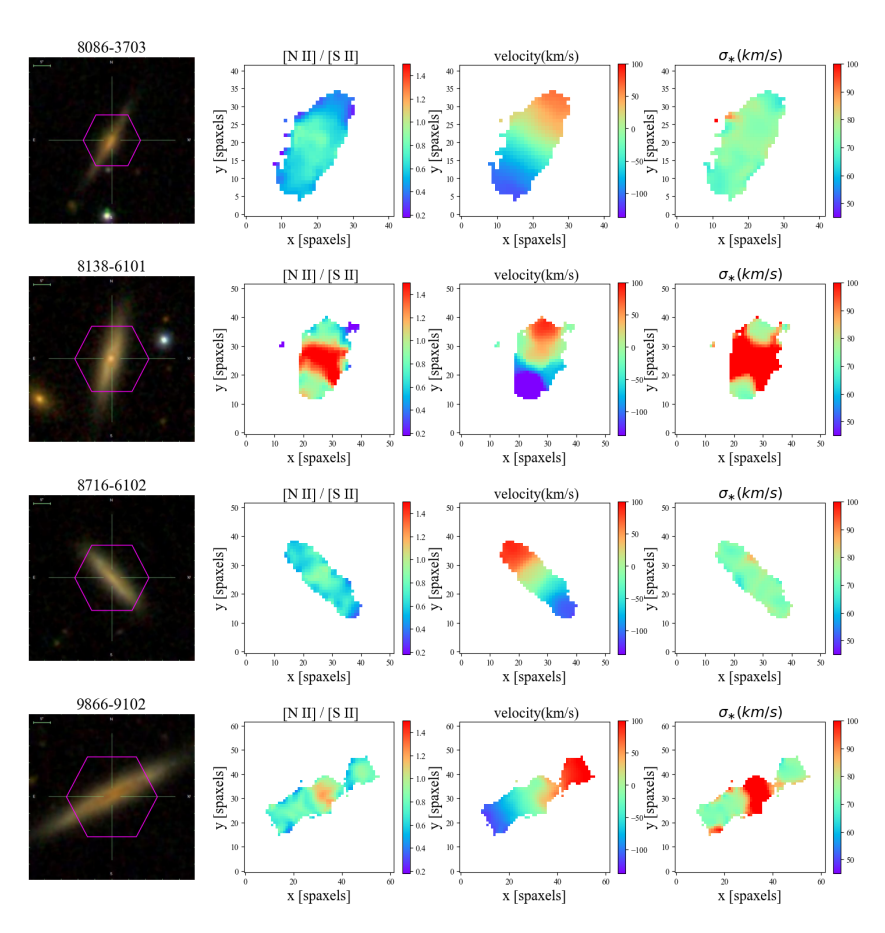


注: 第一列是星系的宽波段图像,第二列是星系的 [N II]/[S II] 空间分布图,第三列是 [N II]/[S II] 随 R/R_e 变 化的分布图

图 7 星系的 [N II]/[S II] 空间分布与 [N II]/[S II] 随 R/R_e 变化示例

上一节我们研究了 N2S2 诊断图的性质,本质上也可由 [N II]/[S II] 这两条发射线的比值直接来表征。特别是,采用发射线比值 [N II]/[S II],我们可以研究其在侧向星系的空间分布情况,这对我们理解金属丰度的性质是有意义的。我们考察了 608 个侧向星系的 [N II]/[S II] 分布图以及 [N II]/[S II] 与距星系中心的距离 R/R_e 的关系图,发现绝大多数星系的 [N II]/[S II] 值在中心明显更高,并且 [N II]/[S II] 随 R/R_e 的增加而单调下降的趋势,但也有 20 个星系呈现例外,这些星系的 [N II]/[S II] 没有明显地随 R/R_e 增加而下降的趋势。

在图7中,我们随机选取了几个星系作为示例,分别展示了宽波段图像、[N II]/[S II] 空间分布图和 [N II]/[S II] 随 R/R_e 变化的分布图,可以看到 [N II]/[S II] 的空间分布图展示了比宽波段图像更丰富的信息。有多个星系(如 9093-6102)在 [N II]/[S II] 图像中能清晰地看到从盘延伸出去的气体,这些延展的气体的 [N II]/[S II] 值相对来说都比较高,而且从宽波段图像中完全看不到这些延展气体的痕迹。这样的延展气体很可能正反映了星系中气体的外流,而且这样的外流还伴随着金属增丰的过程([N II]/[S II] 的比值较高)。



注:第一列是星系的宽波段图像,第二列是星系的 [N II]/[S II] 空间分布图,第三列是速度场的分布图,第四列是速度弥散图

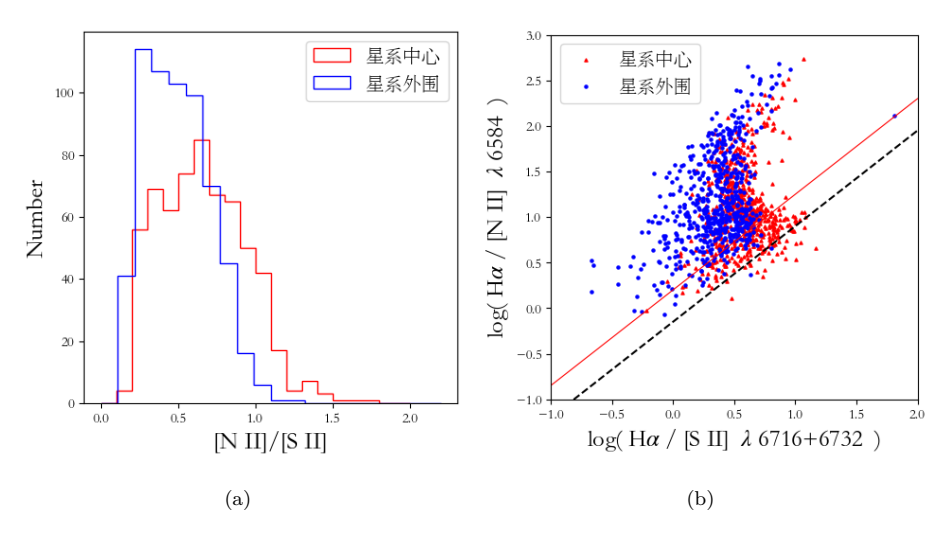
图 8 双锥状结构的星系示例

通常来说,星系的外流还有一个常见的特征会呈现双锥状结构。因此我们目视查看了所有 608 个星系的 [N II]/[S II] 图像,发现有 4 个星系中心的 [N II]/[S II] 从形态上呈现一个类似双锥的结构,即垂直于盘面的 [N II]/[S II] 发射线比值比盘上 [N II]/[S II] 发射线比值 明显要高。

图8展示这几个星系的图像、[N II]/[S II] 分布以及速度分布情况,我们使用了 Hα 发射线的视向速度以及高斯拟合的速度弥散。通常规则盘星系的速度场一边是红,一边是蓝,如果从红到蓝存在扭曲,多半是有内流或外流的迹象^[22],而这些地方的速度弥散也会增加。从运动学信息来看,图8中第二个星系(8318-6010)的速度弥散中间明显较高,第四个星系(9866-9102)的速度场中间可以看出扭曲,速度为正表示远离视线方向,中间偏红的则表明有向外流出的气体,反之则是有内流。

由于 MaNGA 观测的曝光时长有限,对盘外区域的光谱观测信噪比通常来说不高,因此这样的挑选只能是尝试性的。但在垂直于盘面方向有较明显的 [N II]/[S II] 增丰可能也暗示这些星系中受到较明显的外流影响,对这些星系的详细考察还有待下一步工作展开。

MaNGA 侧向星系样本中大多数星系的 [N II]/[S II] 发射线比值随 R/R_e 变化较为明显,为了量化 [N II]/[S II] 随 R/R_e 的变化并便于挑选出中心的 [N II]/[S II] 较高的星系,我们计算了中心和外围的平均 [N II]/[S II]。中心区域采用 $0.5R_e$ 内的所有 Spaxel 的 [N II]/[S II] 的平均值。考虑到 MaNGA 有 2/3 的星系外围覆盖到 $1.5R_e$ 区域,我们选取位于 $1.3\sim1.5$ R_e 的 Spaxel 的 [N II]/[S II] 平均值作为盘边缘处的 [N II]/[S II] 值。我们在图9中画出了 608 个侧向星系两个位置的平均 [N II]/[S II] 比值直方图以及在这些星系中两个位置的平均光谱在 N2S2 图上的分布情况。

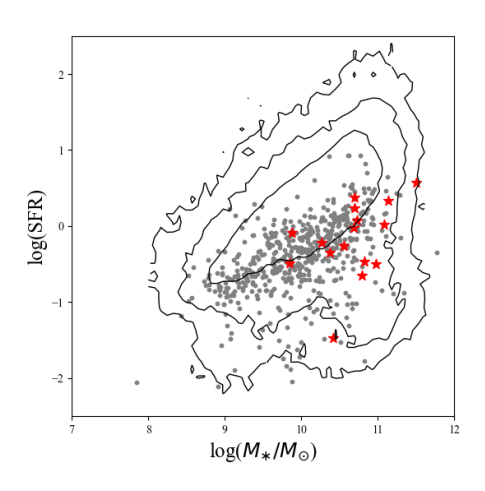


注: (a) 横坐标为 [N II]/[S II],纵坐标为频数,红色代表星系中心 $0.5~R_e$ 范围内的 [N II]/[S II] 平均值,蓝色代表星系外围 $1.3\sim1.5R_e$ 范围的 [N II]/[S II] 平均值。(b) 红色代表星系中心,蓝色代表星系外围,黑色虚线表示 SDSS 星系分界线,红色实线表示 MaNGA 侧向星系分界线。

图 9 星系中心与外围的 [N II]/[S II] 直方图与 N2S2 图分布

从图9(b) 可以看出在右下方区域, x 轴方向上中心的 log ($H\alpha/[S\ II]$) 要比外围高出 0.3dex 左右,且中心相较于外围的平均 [$N\ II]/[S\ II]$ 整体有一个往右下方的偏离,即往 [$N\ II]/[S\ II]$ 更高的方向。对于同一个星系来说,中心的 [$N\ II]/[S\ II]$ 比外围要高,这与大多数研究结果相符。

随后我们引入一种百分比的方法,来衡量中心区域有多少 Spaxel 比外围的 [N II]/[S II] 高,为此我们需要在边缘上选取一个基准,即上述描述的 $1.3\sim 1.5R_e$ 范围的平均值,其次我们统计 $0.5R_e$ 范围内比该基准高的 Spaxel 所占的比例,当 $0.5R_e$ 范围内的比基准高 2 倍的 Spaxel 超过 30% 时,表明该星系中心区域的 [N II]/[S II] 显著比外围高,一共有 17 个星系符合这个标准。在图10中我们画出了这 17 个星系在质量和恒星形成率关系上的位置,我们发现这些星系多数位于绿谷星系,恒星质量范围覆盖 $10^{10}\sim 10^{11.5}M_{\odot}$,恒星形成率在 $10^{11.5}M_{\odot}$,恒星形成率在 $10^{11.5}M_{\odot}$,恒星形成率在 $10^{11.5}M_{\odot}$,恒星形成率的 $10^{11.5}M_{\odot}$,恒星形成率的 $10^{11.5}M_{\odot}$,但星形成率的 $10^{11.5}M_{\odot}$,但星形成率的 $10^{11.5}M_{\odot}$,但星形成率的 $10^{11.5}M_{\odot}$,但星形成率更高且质量更大的星系。



注:横坐标为星系的恒星质量 $\log(M_*/M_\odot)$,纵坐标为恒星形成率 $\log(SFR)(M\odot yr^{-1})$,等值线为 SDSS 星系,红色的星表示选出的 17 个中心的 [N II]/[S II] 比外围显著高的星系,灰色的点为 MaNGA 侧向星系。

图 10 星系中心的 [N II]/[S II] 比外围显著高的星系

3.3 MaNGA 侧向星系的金属丰度分布

在本节中我们的目的是研究星系中的金属分布,而金属丰度的测量依赖强发射线的比值,但这些比值除了和金属丰度有关,还依赖于气体的电离状态,而 AGN 的电离状态和恒星形成星系的电离状态显著不同^[23]。本文中采用的金属丰度探针都是根据恒星形成区进行校准的,可能不适用于电离参数或 ISM 压力与典型的恒星形成区不同的系统,而 AGN 会潜在地导致金属丰度测量偏高的问题,因此在后面的分析中我们只考虑恒星形成区的金属丰度。

3.3.1 金属丰度的测量方法

上一章我们考察了 N2S2 诊断图,以及 [N II]/[S II] 发射线比值在星系中的分布。因为使用了直接测量值,N2S2 诊断图和 [N II]/[S II] 发射线比值来避免了各种金属丰度测量标

度关系的不确定性。然而,N2S2 诊断图和 [N II]/[S II] 发射线比值不能直接一对一体现金属丰度的多少,例如 [N II]/[S II] 发射线比值就还受到电离参数的影响。因此,我们尝试使用几种常用的金属丰度指针,对侧向星系的 MaNGA 光谱估计其对应的金属丰度,并考察这些金属丰度测量值在侧向星系中的分布。我们使用强发射线比的经验方法来估计气体金属丰度,如 R23、N2 和 O3N2,以及和 [N II]/[S II] 直接关联的 N2S2H α 方法。

对于氧金属丰度的测量,R23 是最广泛采用的参数之一。然而 R23 存在一个严重问题 是它是双分支的,R23 和 O/H 之间出现非单调关系,随着金属丰度的增加,R23 呈现先增 加后下降的趋势,大约在 $12 + \log(\mathrm{O/H}) \sim 8.4$ 附近 R23 变得简并。因此使用该方法之前需 要划分富金属支和贫金属支,我们使用参考 Kewley 等人 $^{[24]}$ 提出的使用 $[\mathrm{N\ II}]/[\mathrm{O\ II}]$ 和 $[\mathrm{N\ III}]/\mathrm{H}\alpha$ 的组合来打破 R23 的简并性,对于 $\log([\mathrm{N\ II}]/\mathrm{H}\alpha) > -1.1$ 和 $\log([\mathrm{N\ II}]/[\mathrm{O\ II}]) > -1.2$ 的光谱定义为富金属区; $\log([\mathrm{N\ II}]/\mathrm{H}\alpha) < -1.3$ 和 $\log([\mathrm{N\ II}]/[\mathrm{O\ II}]) < -1.2$ 的光谱定义其为贫金属区;对于-1.3 $< \log([\mathrm{N\ II}]/\mathrm{H}\alpha) < -1.1$,的光谱为转置区,并将这些 Spaxel 排除在进一步的分析中。在所有 MaNGA 侧向星系的光谱中,位于富金属区的有 422324 个(98.12%),贫金属区的有 4837 个(1.12%),转置区的有 3271 个(0.76%)。

对于 R23 方法我们使用 M91 校准, M91 校准由 Kobulnicky 等人^[25]给出,富含金属分支校准公式为:

$$12 + log(O/H) = 9.061 - 0.2 \times R23 - 0.237 \times R23^{2} - 0.305 \times R23^{3} - 0.0283 \times R23^{4}$$
$$-O32 \times (0.0047 - 0.0221 \times R23 - 0.102 \times R23^{2} - 0.0817 \times R23^{3} - 0.00717 \times R23^{4})$$
 (3)

贫金属支为:

$$12 + log(O/H) = 7.056 + 0.767 \times R23 + 0.602 \times R23^{2}$$
$$-O32 \times (0.29 + 0.332 \times R23 - 0.331 \times R23^{2})$$
 (4)

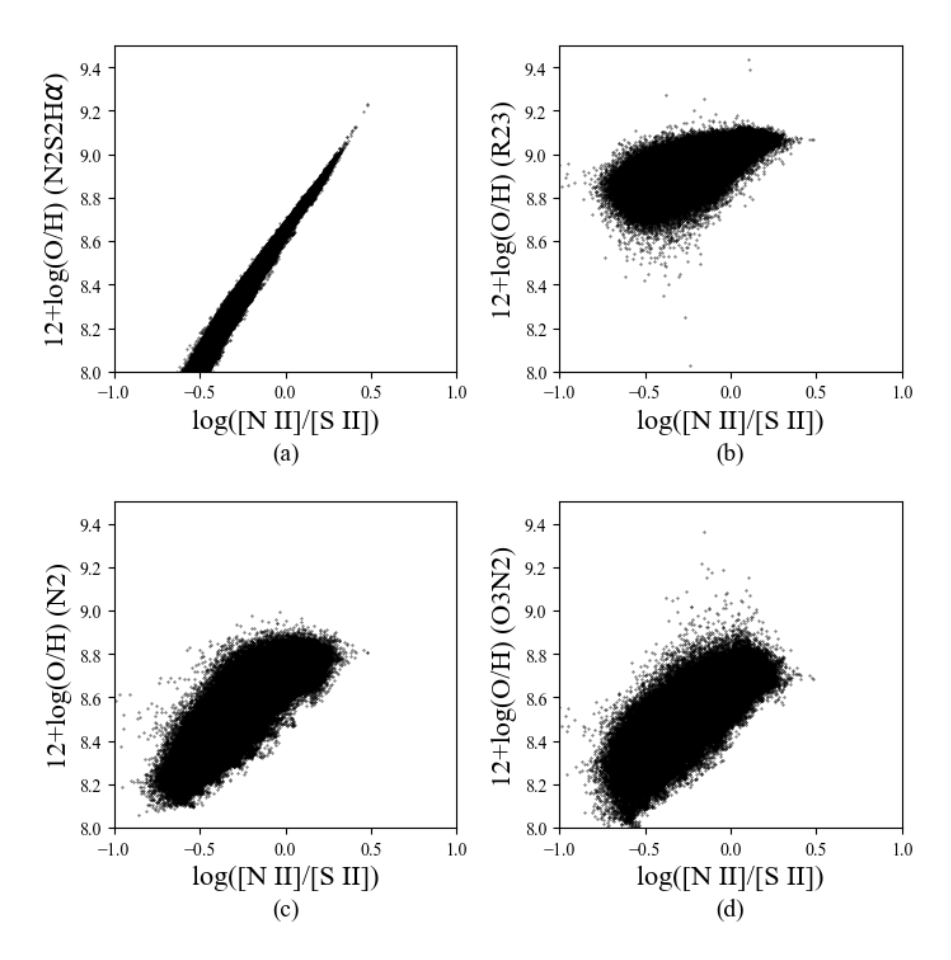
N2 与金属丰度的关系不是线性的,在非常低的金属丰度下,N2 与氮丰度成简单的线性关系;在金属丰度稍高时,次级氮占主导地位时,[N II]/H α 随着氧丰度的增加而迅速增加。N2 丰度最常用的校准公式来自 Pettini 和 Pagel^[26],简称 PP04 N2,该校准的有效范围为 -2.5 < N2 < -0.3,这里我们采用三阶 PP04 N2 校准公式: $12 + log(O/H) = 9.37 + 2.03 \times N2 + 1.26 \times N2^2 + 0.32 \times N2^3$

O3N2 参数与氧丰度之间的线性关系仅对 $12 + \log(O/H) > 8.0$ 有效,对于低金属丰度范围 (O3N2 > 2),该参数与金属丰度无关,PP04 O3N2 校准公式为: $12 + \log(O/H) = 8.73 - 0.32 \times O3N2$ 。

N2S2H α 是由 [N II]/[S II] 发射线比发展而来的。Dopita 等人 $^{[27]}$ 发现使用 [N II]/H α 结合 [N II]/[S II] 可以获得丰度的良好估计,由此提出"N2S2H α "校准(N2S2H α = log([N II]/[S II]) + 0.264 × log([N II]/H α))。对于该校准,线性拟合在 12 + log(O/H) < 9.05 以内都很好,N2S2H α 校准可以表示为: $12 + log(O/H) = 8.77 + N2S2H<math>\alpha$,我们使用五次项修正形式: $12 + log(O/H) = 8.77 + N2S2H\alpha + 0.45 \times (N2S2H\alpha + 0.3)^5$ 。

3.3.2 [N II]/[S II] 与金属丰度之间的关系

在计算了各金属丰度以后,我们首先建立了 [N II]/[S II] 与金属丰度之间的的关系,我们分别们画出了它们与 [N II]/[S II] 之间的关系,如图11所示。我们可以看出 N2S2H α 与 [N II]/[S II] 之间存在较好的线性关系,在 $12 + \log(\mathrm{O/H}) < 8.0$ 时会出现非线性收敛,因此我们取其中的线性区间大约 $8.0 < 12 + \log(\mathrm{O/H}) < 8.8$ 作为可用的金属丰度范围。对于 R23,金属丰度和 [N II]/[S II] 之间尽管存在一定的相关性,但时相关性较差,我们还注意到 R23 方法计算出来的金属丰度值比其它几种方法高,其测量所得的金属丰度区间约 $8.6 < 12 + \log(\mathrm{O/H}) < 9.1$ 。 N2 和与 [N II]/[S II] 存在较好的相关性,其线性关系可以一直延伸到 $12 + \log(\mathrm{O/H}) > 9.0$ 以上,考虑到 N2 丰度测量方法的适用范围 $-2.5 < \mathrm{N2} < -0.3$,其对应 N2 丰度的范围在 $8.1 < 12 + \log(\mathrm{O/H}) < 8.85$ 之间。O3N2 和 N2 类似,考虑到该公式是由 $-1 < \mathrm{O3N2} < 1.9$ 的数据定标而来,因此 O3N2 丰度适用范围 $8.2 < 12 + \log(\mathrm{O/H}) < 9.0$ 。

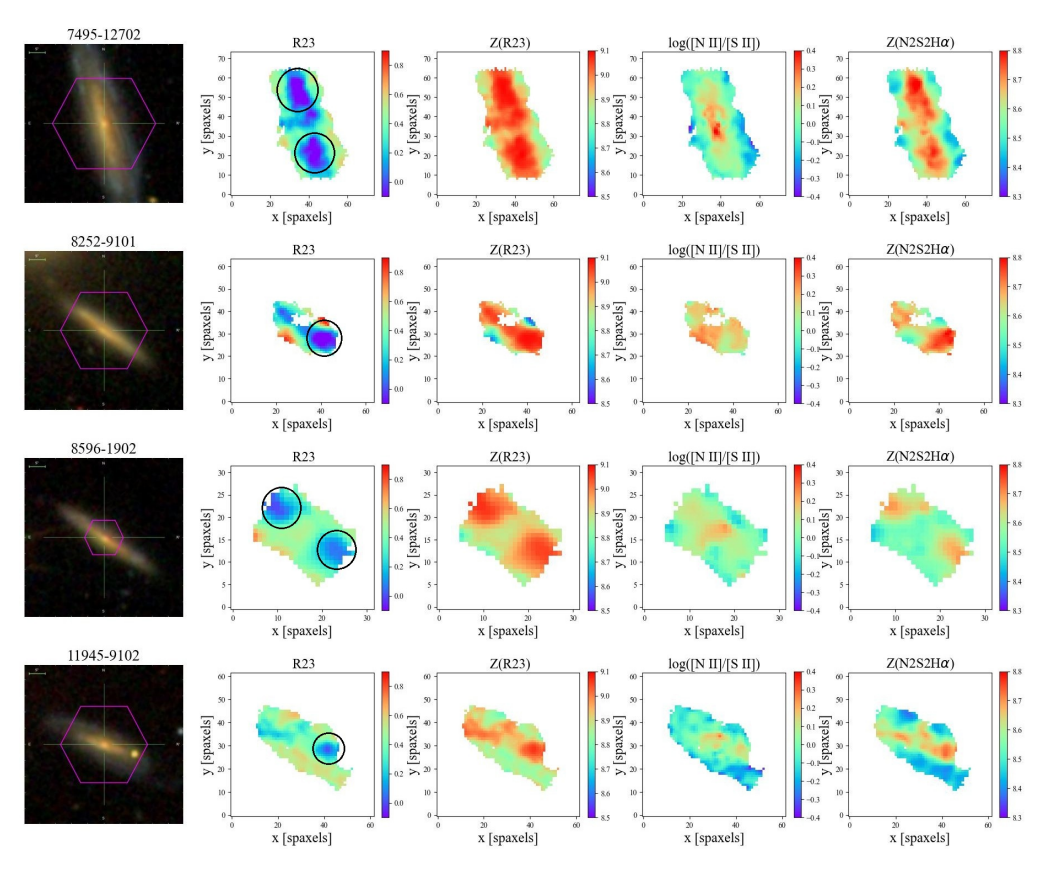


注: (a)(b)(c)(d) 横坐标为 [N II]/[S II], 纵坐标分别为 N2S2Hα 丰度、R23 丰度、N2 丰度和 O3N2 丰度。

图 11 [N II]/[S II] 与不同金属丰度之间的关系

3.3.3 侧向星系金属丰度的空间分布图像

在测量了金属丰度之后,我们考察这些金属丰度测量值在 MaNGA 侧向星系的分布。在 引言中,我们介绍了一系列利用二维光谱对星系中金属丰度分布的研究。虽然这些研究中专 门针对大样本侧向星系的还几乎没有,不过我们已经可以从以往的研究中了解到,盘星系的 金属丰度大多具有中间高外围低的特点。



注: 从左往右依次为宽波段图像,R23 值、R23 丰度、[N II]/[S II] 和 N2S2H α 丰度

图 12 R23 丰度测量可能存在问题的星系

我们检查 608 个侧向星系使用不同方法测量得到的金属丰度分布图像,也验证了这一点。我们发现大部分星系利用不同金属丰度测量方法得到的丰度图像都呈现中间高外围低的特点。这样的特点在考察 [N II]/[S II] 随 R/R_e 变化的时候已有所体现。比较有启发意义的是比较不同测量方法得到的金属丰度在侧向星系中空间的分布是否一致。在图11中我们已经看到不同金属丰度测量结果,尽管有些有系统性的偏差,但多少都有一定的相关性。只是这样的相关性是否在空间分布上也能保持还有待考察。同时我们发现,大部分星系不同方法测量的金属丰度在星系中的空间分布大体是一样的。不过,我们还需要进一步研究来确定这样的差别是因为不同金属丰度定标方法上还需要优化,还是反映了星系中的某些特性。例如,

我们已经发现适用于大样本的 R23 金属丰度标度关系,因其固有的"双分支"特点,在利用空间可分辨光谱研究金属丰度的空间分布时,有时会带来困扰。

图12中展示了我们通过目视辨认的方法筛选出的 R23 丰度测量可能存在问题的星系。由R23 指标做出的金属丰度在一些区域(由黑色圈表示)给出了高金属丰度,这些区域还都恰好在侧向星系的外围,可能和外部区域对贫金属气体的吸积有关。我们猜测有以下原因:由于 MaNGA 的分辨率有限,对外部区域的观测信噪比不高;此外侧向星系盘内的尘埃太厚,即使考虑了消光,也无法还原真实的流量;还有当我们使用 R23 时,会把大部分区域的光谱划分到富金属区,导致我们计算出的丰度偏高。因此对于这些区域的 R23 金属丰度测量,要重新评估其在"双分支"中的选择判据,并审视其金属丰度测量。不过这样的星系并不多。在 608 个侧向星系中,我们的粗略筛选出几个星系,对这些星系的研究将在我们的后续研究中进行。

4 总结与展望

本文通过构建 608 个 MaNGA 侧向星系样本,使用了氮和硫这两个常见的金属元素的 发射线比和由此演变而来的 N2S2 图,先后探究了 SDSS 星系和 MaNGA 侧向星系在 N2S2 图上的分布,以及 [N II]/[S II] 在 MaNGA 侧向星系上的特征。最后在此基础上定量计算了 N2S2H α 的金属丰度,并与其它常见的金属丰度测量方法(如 R23、N2 和 O3N2 方法)作了比较,由此得到以下结论:

(1) SDSS 星系与 MaNGA 侧向星系都会在 N2S2 图上呈现一个双峰分布,只不过侧向星系相对于 SDSS 星系整体往左上方偏移 0.3 dex。我们定义 SDSS 星系的双峰分界线: $log(H\alpha/[NII]) = 1.05 \times log(H\alpha/[SII]) - 0.15$,该分界线将星系分成两支,右下支是 [N II] 相对于 [S II] 较高的,左上支是 [N II] 相对于 [S II] 较低的,不同支的星系可能对应于不同的形成机制。另外针对 SDSS 星系的分析表明,恒星质量的星系越大越倾向于拥有更高的 [N II]/[S II]。

(2)[N II]/[S II] 在 MaNGA 侧向星系上的空间分布表明,绝大多数星系的 [N II]/[S II] 都是呈现负梯度分布,即 [N II]/[S II] 随着距中心的距离 R/R_e 增加而单调下降,但是也存在 20 个星系没有这样的趋势。在 [N II]/[S II] 的空间分布图中,我们发现有个别星系中心会呈现一个垂直盘面的双锥状结构,在这个双锥区域内有较明显的 [N II]/[S II] 增丰,可能暗示这些星系中受到较明显的外流影响。

(3)[N II]/[S II] 与 N2S2Hα、N2 和 O3N3 丰度之间的相关性较好,但是和 R23 之间存在一些偏差。并且在侧向星系金属丰度的分布图像中,有部分星系的 R23 丰度测量可能存在问题,由 R23 指标做出的金属丰度在侧向星系外围的某些区域反而更高。我们推测 R23 金属丰度测量在空间分辨的光谱应用中有些情况下可能需要重新定标,特别是评估其在"双分支"中的选择判据需进一步优化。

我们的研究对使用氮和硫来探究侧向星系金属丰度的空间分布具有一定的启发,相较于

以往对单个星系的研究,我们构建了一个包含 608 个侧向星系的样本,从统计上检查了侧向星系不同区域的金属分布情况,并且验证了大多数侧向星系的金属丰度呈现中心高外围低的特点。这对我们理解星系的演化,物质循环过程(包括外流、吸积等)具有重要的意义。

参考文献:

- [1] Tumlinson J, Peeples M S, Werk J K. ARA&A, 2017, 55: 389
- [2] Chisholm J, Tremonti C, Leitherer C. MNRAS, 2018, 481, 1690C
- [3] Pérez-Montero E, Contini T, Lamareille F, et al. A&A, 2013, 549: A25
- [4] Dopita M A, Fischera J, Sutherland R S, et al. ApJS, 2006, 167(2): 177
- [5] Kewley L J, Ellison S L. ApJ, 2008, 681(2): 1183
- [6] Maiolino R, Mannucci F. A&ARv, 2019, 27(1): 3
- [7] Baldwin J A, Phillips M M, Terlevich R. PASP, 1981, 93(551): 5
- [8] Bundy K, Bershady M A, Law D R, et al. APJ, 2014, 798(1): 7
- [9] Blanton M R, Kazin E, Muna D, et al. ApJ, 2011, 142(1): 31
- $[10]\;$ Law D R, Cherinka B, Yan R, et al. ApJ, 2016, 152(4): 83
- $[11]\,$ Schlegel D J, Finkbeiner D P, Davis M. ApJ, 1998, $500(2)\colon\,525$
- [12] Bizyaev, D. V.; Kautsch, S. J.; Mosenkov, A. V.APJ, 2014, 787:24B
- [13] Jones A. et al. A&A, 2017, 599, A141
- [14] Calzetti et al. ApJ, 2000, 533, 682
- [15] Osterbrock D E., Bochkarev N G., SvA, 1989, 33, 694
- $[16] \ \, {\rm Kroupa\ P.\ MNRAS},\, 2001,\, 322,\, 231$
- [17] Sabbadin F. A&A, 1980, 84: 216
- [18] Delgado G, Viironen K, Mampaso A, et al. RMxAC, 2005, 24: 229
- [19] Moustakas J, Kennicutt Jr R C. ApJ, 2006, 651(1): 155
- [20] Viironen K, Delgado-Inglada G, Mampaso A, et al. MNRAS, 2007, 381(4): 1719
- $[21]\,$ Kewley L J, Dopita M A, Sutherland R, et al. ApJ, 2001, $556(1)\colon\,121$
- [22] Dirks L, Dettmar R J, Bomans D J, et al. A&A, 2023, 678, A84
- [23] Kauffmann G, Heckman T M, Tremonti C, et al. MNRAS, 2003, 346(4): 1055
- $[24]\;$ Kewley L J, Dopita M A. ApJS, 2002, 142(1): 35
- [25] Kobulnicky H A, Kennicutt Jr R C, Pizagno J L. APJ, 1999, 514(2): 544
- $[26]\,$ Pettini M, Pagel B E. MNRAS, 2004, 348(3): L59
- [27] Dopita M A, Kewley L J, Sutherland R S, et al. Ap&SS, 2016, 361: 1

20 天文学进展 0卷

The study of nitrogen and sulfur emission line ratios in edge-on galaxies

Dou Bao-lian^{1,2}, Hao Lei^{1,2}, Yin Jun^{1,2}, Lin Min-yi³

(1. Key Laboratory for Research in Galaxies and Cosmology, Shanghai Astronomical Observatory, Chinese Academy of Sciences, Shanghai 200030, China; 2. University of Chinese Academy of Sciences, Beijing 100049, China; 3. National Astronomical Observatories, Chinese Academy of Sciences, Beijing 100101)

Abstract: Accretion and feedback constitute the material cycle between galaxies and their environment, and metallicity is closely related to this cycling process. By utilizing a sample of 608 edge-on galaxies obtained from the MaNGA integral field survey, we can examine the nitrogen and sulfur emission line ratios, as well as the distribution of metallicity. The study shows that the MaNGA edge-on galaxy sample and SDSS galaxies exhibit similar bimodal distributions on the N2S2 diagram, with the MaNGA edge-on galaxies slightly shifted towards the upper left. Additionally, the [N II]/[S II] ratio is generally higher at the centers of most galaxies compared to their outer, with some galaxy centers displaying a conical structure of nitrogen enrichment. Lastly, the spatial distribution of metallicity in edge-on galaxies measured by different methods is generally consistent, with only a few galaxies showing higher oxygen abundance in their outer compared to their centers, which may be related to the selection criteria for the R23 "double branch" method and requires further optimization.

Key words: Material cycle; Metallicity; N2S2 diagram